

Starkniederschlagshöhen und -spenden gemäß KOSTRA-DWD-2010R

Auswertungszeitraum von 1951 - 2010, Januar - Dezember

Rasterfeld: 38046

Zeile: 38

Spalte: 46

Seite: 1/2

| Dauerstufe D | Wiederkehrzeit T | | | | | | | | | | | | | | | | | | |
|--------------|------------------|------|------------|------|------------|------|------------|------|------------|------|------------|------|------------|------|------------|------|------------|------|------------|
| | 1 a | | 2 a | | 3 a | | 5 a | | 10 a | | 20 a | | 30 a | | 50 a | | 100 a | | |
| min | Std | mm | l / (s ha) | mm | l / (s ha) | mm | l / (s ha) | mm | l / (s ha) | mm | l / (s ha) | mm | l / (s ha) | mm | l / (s ha) | mm | l / (s ha) | mm | l / (s ha) |
| 5 | | 5,0 | 166,7 | 6,4 | 213,3 | 7,2 | 240,0 | 8,2 | 273,3 | 9,5 | 316,7 | 10,9 | 363,3 | 11,7 | 390,0 | 12,6 | 420,0 | 14,0 | 466,7 |
| 10 | | 7,8 | 130,0 | 9,7 | 161,7 | 10,8 | 180,0 | 12,2 | 203,3 | 14,1 | 235,0 | 16,0 | 266,7 | 17,1 | 285,0 | 18,5 | 308,3 | 20,4 | 340,0 |
| 15 | | 9,6 | 106,7 | 11,9 | 132,2 | 13,3 | 147,8 | 15,0 | 166,7 | 17,3 | 192,2 | 19,6 | 217,8 | 21,0 | 233,3 | 22,7 | 252,2 | 25,0 | 277,8 |
| 20 | | 10,8 | 90,0 | 13,5 | 112,5 | 15,1 | 125,8 | 17,0 | 141,7 | 19,7 | 164,2 | 22,4 | 186,7 | 23,9 | 199,2 | 25,9 | 215,8 | 28,6 | 238,3 |
| 30 | | 12,4 | 68,9 | 15,7 | 87,2 | 17,6 | 97,8 | 20,0 | 111,1 | 23,2 | 128,9 | 26,5 | 147,2 | 28,4 | 157,8 | 30,8 | 171,1 | 34,1 | 189,4 |
| 45 | | 13,7 | 50,7 | 17,7 | 65,6 | 20,1 | 74,4 | 23,0 | 85,2 | 27,0 | 100,0 | 31,0 | 114,8 | 33,3 | 123,3 | 36,3 | 134,4 | 40,3 | 149,3 |
| 60 | | 14,5 | 40,3 | 19,1 | 53,1 | 21,8 | 60,6 | 25,2 | 70,0 | 29,8 | 82,8 | 34,4 | 95,6 | 37,1 | 103,1 | 40,5 | 112,5 | 45,1 | 125,3 |
| 90 | | 15,7 | 29,1 | 20,5 | 38,0 | 23,2 | 43,0 | 26,7 | 49,4 | 31,4 | 58,1 | 36,1 | 66,9 | 38,9 | 72,0 | 42,4 | 78,5 | 47,1 | 87,2 |
| 120 | 2 | 16,7 | 23,2 | 21,5 | 29,9 | 24,3 | 33,8 | 27,8 | 38,6 | 32,6 | 45,3 | 37,4 | 51,9 | 40,2 | 55,8 | 43,8 | 60,8 | 48,6 | 67,5 |
| 180 | 3 | 18,1 | 16,8 | 23,0 | 21,3 | 25,9 | 24,0 | 29,5 | 27,3 | 34,4 | 31,9 | 39,4 | 36,5 | 42,2 | 39,1 | 45,9 | 42,5 | 50,8 | 47,0 |
| 240 | 4 | 19,2 | 13,3 | 24,2 | 16,8 | 27,1 | 18,8 | 30,8 | 21,4 | 35,8 | 24,9 | 40,8 | 28,3 | 43,8 | 30,4 | 47,4 | 32,9 | 52,5 | 36,5 |
| 360 | 6 | 20,8 | 9,6 | 25,9 | 12,0 | 28,9 | 13,4 | 32,7 | 15,1 | 37,9 | 17,5 | 43,0 | 19,9 | 46,0 | 21,3 | 49,8 | 23,1 | 54,9 | 25,4 |
| 540 | 9 | 22,6 | 7,0 | 27,8 | 8,6 | 30,9 | 9,5 | 34,8 | 10,7 | 40,1 | 12,4 | 45,3 | 14,0 | 48,4 | 14,9 | 52,3 | 16,1 | 57,5 | 17,7 |
| 720 | 12 | 23,9 | 5,5 | 29,3 | 6,8 | 32,4 | 7,5 | 36,3 | 8,4 | 41,7 | 9,7 | 47,1 | 10,9 | 50,2 | 11,6 | 54,1 | 12,5 | 59,5 | 13,8 |
| 1080 | 18 | 26,0 | 4,0 | 31,4 | 4,8 | 34,6 | 5,3 | 38,7 | 6,0 | 44,2 | 6,8 | 49,7 | 7,7 | 52,9 | 8,2 | 56,9 | 8,8 | 62,4 | 9,6 |
| 1440 | 24 | 27,5 | 3,2 | 33,1 | 3,8 | 36,4 | 4,2 | 40,5 | 4,7 | 46,1 | 5,3 | 51,6 | 6,0 | 54,9 | 6,4 | 59,0 | 6,8 | 64,6 | 7,5 |
| 2880 | 48 | 33,3 | 1,9 | 40,6 | 2,3 | 44,9 | 2,6 | 50,3 | 2,9 | 57,6 | 3,3 | 64,9 | 3,8 | 69,2 | 4,0 | 74,6 | 4,3 | 81,9 | 4,7 |
| 4320 | 72 | 37,3 | 1,4 | 45,6 | 1,8 | 50,5 | 1,9 | 56,6 | 2,2 | 64,9 | 2,5 | 73,3 | 2,8 | 78,1 | 3,0 | 84,3 | 3,3 | 92,6 | 3,6 |

Angaben in mm: Bemessungsniederschlagswerte h(n)

Angaben in l / (s ha): Regenspende R(n) mit $R(n) = h(n) \times 1,666667 / D[\text{min}]$

Toleranzbereiche:

+/- 10 % für $1 \text{ a} \leq T \leq 5 \text{ a}$

+/- 15 % für $5 \text{ a} < T \leq 50 \text{ a}$

+/- 20 % für $50 \text{ a} < T \leq 100 \text{ a}$

Datenbasis: KOSTRA-DWD-2010R des Deutschen Wetterdienstes. Die Regenspende wurde auf Basis des Bemessungsniederschlags zur jeweiligen Andauer berechnet.

Für die Richtigkeit und Aktualität der Angaben wird keine Gewähr übernommen. Erstellt 07/2022.

Starkniederschlagshöhen und -spenden gemäß KOSTRA-DWD-2010R

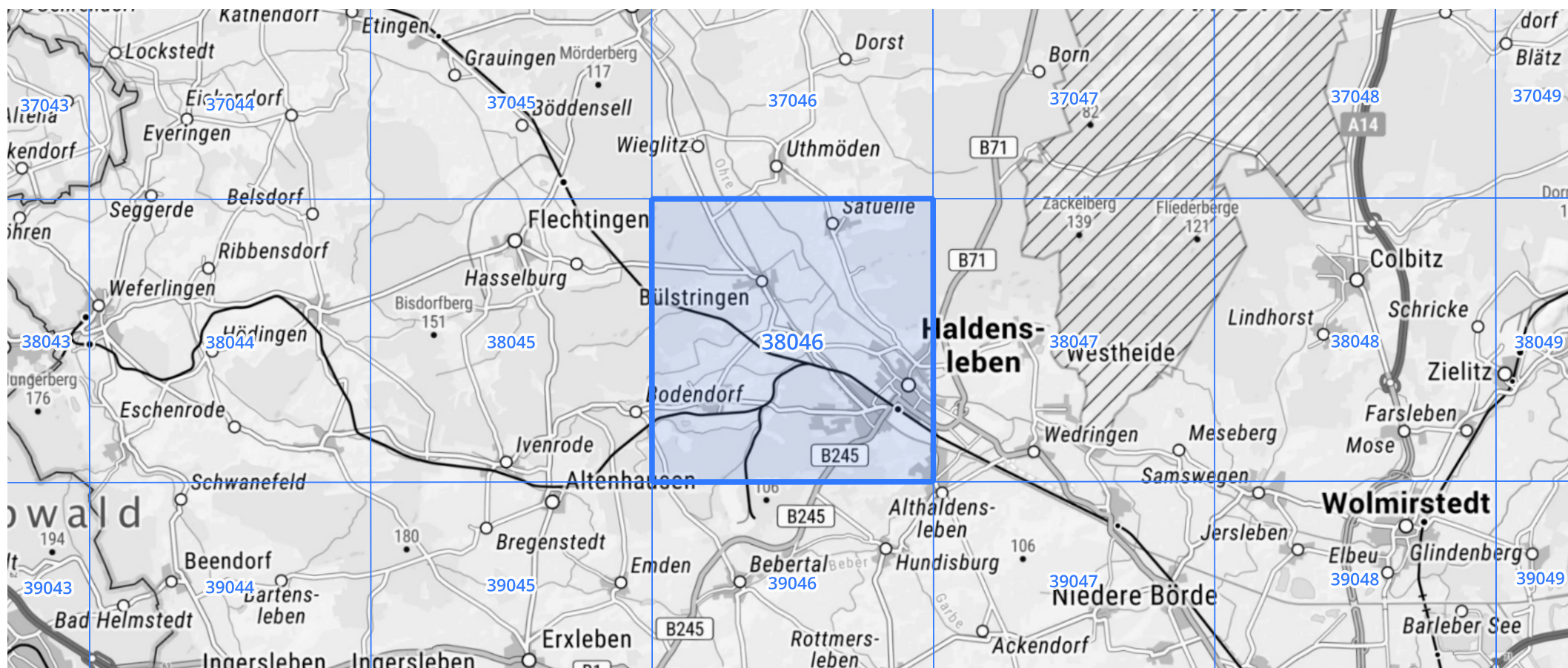
Auswertungszeitraum von 1951 - 2010, Januar - Dezember

Rasterfeld: 38046

Zeile: 38

Spalte: 46

Seite: 2/2



Quelle Rasterdaten: KOSTRA-DWD-2010R des Deutschen Wetterdienstes.

Kartendarstellung: © Bundesamt für Kartographie und Geodäsie (2022), Datenquellen: https://sgx.geodatenzentrum.de/web_public/gdz/datenquellen/Datenquellen_TopPlusOpen.html

Für die Richtigkeit und Aktualität der Angaben wird keine Gewähr übernommen. Erstellt 07/2022.